

DOI: 10. 13652/j. issn. 1003-5788. 2015. 06. 028

基于 PLC 控制的全自动在线清洗系统的设计

Design of automatic cleaning in place system based on programmable controller

李湘伟1 刘 尉2

LI Xiang-wei¹ LIU Wei²

- (1. 广东轻工职业技术学院,广东 广州 510300;2. 广州轻机机械设备有限公司,广东 广州 510250)
 - (1. Guangdong Industry Technical College, Guangzhou, Guangdong 510300, China;
- 2. Guangzhou Light Machinery Equipment Limited Company, Guangzhou, Guangdong 510250, China)

摘要:介绍一种基于 PLC 控制的全自动在线清洗系统的设计过程,包括系统总体设计、电气控制系统设计、工作流程和人机界面设计等内容。该系统采用西门子 S7 200 PLC、Profibus DP 现场总线、触摸屏等先进控制技术,具有多个工艺流程。系统投入运行后,工作稳定,操作简便,自动化程度高,清洗成本低。

关键词:PLC;CIP系统;西门子;人机界面

Abstract: Presents the design process of a automatic cleaning in place system based on programmable controller, including the overall design of the system, electrical control system design, work processes and the man-machine interface design, etc. The system adopts Siemens S7-200 PLC, Profibus DP fieldbus, man-machine interface and other advanced technologies, with multiple technological processes. After the system is put into operation, it works stably, operates simply, and has a high degree of automation, which brings good economic benefits for the company.

Keywords: PLC; CIP system; siemens; human machine interface

在食品生产过程中,需要利用水和清洗液对容器及管道内部进行清洗,以去除残留的产品和其他沉淀物质,保证清洁,必要时还要通过高温溶液进行杀菌处理,由于这些管道都是全封闭且固定安装无法拆卸,因此需就地清洗,一般采用在线清洗系统(cleaning in place,CIP)进行。就地清洗要求 CIP 系统不能拆卸和移动原有的管道和设备,直接和待清洗设备固连,其清洗过程能够按照产品生产和清洗工艺流程自动对设备进行清洗,从而保证清洗过程的高效率和高质量。

目前工厂大部分的 CIP 系统处于单机控制,或是通过电

作者简介:李湘伟(1975一),男,广东轻工职业技术学院副教授,博

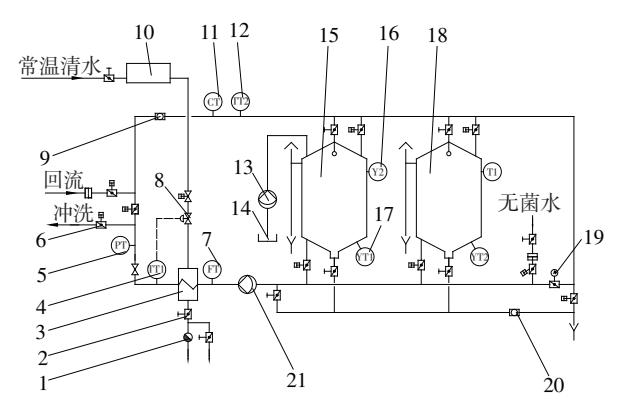
±. E-mail:lxw1234@163.com

收稿日期:2015-05-30

缆硬接线和主机通讯,容易受现场电磁干扰,CIP 系统和被清洗主机之间数据通讯量少,不能够实现主机和清洗过程的全程自动化控制。根据某公司一台小型全自动啤酒灌装机的生产工艺要求,本课题组研制与其配套的基于西门子S7200 PLC 控制的全自动 CIP 系统,实现对啤酒灌装机及其管路的清洗过程,还可作为一个液体输送站,为其他容器输送液体。为达到 CIP 系统和灌装机联机控制,两机通过 Profibus 现场总线通讯,触摸屏控制,完成啤酒灌装与清洗过程的自动化控制。

1 总体设计

图 1 为 CIP 系统的工艺流程图,主要组成部分包括:碱液混合系统、加热系统、液体输送管道系统、传感器、泵、管道阀门、气动元件等。



1. 过滤器 2. 手动阀 3. 板式过滤器 4. 温度计 1 5. 压力计 6. 气动阀 7. 流量计 8. 气动调节阀 9. 视镜 1 10. 电热水器 11. 电导率计 12. 温度计 2 13. 气动隔膜阀 14. 浓碱液槽 15. 碱罐 16. 上液位计 17. 下液位计 18. 热水罐 19. 电动阀 20. 视镜 2 21. 离心泵

图 1 CIP 系统工艺流程图

Figure 1 CIP system process flow diagram

- (1) 碱液混合系统。分为碱罐和热水罐,均为304不锈钢,容积均为500 L,均配液位检测和液位自动控制(传感器由静压式和液位开关相结合)。罐体均设取样装置和自清洗装置。碱罐配浓碱添加系统:配置浓碱添加泵,自动对碱罐添加浓碱;配合电导率传感器实现浓碱液的自动添加,使碱液浓度能自动达到设定的要求。
- (2) 加热系统。采用热水作为热媒对清洗液进行加热, 常温水通过热水器加热,经板式换热器(板片材质不锈钢 304)加热混合碱液,换热器热媒管道配置温度计、气动调节 阀,通过 PLC 主控制器实现对混合碱液温度的 PID 控制。
- (3)液体输送管道。包括:热水加热管道、碱液混合管道、纯净水输送管道、冲洗管道和液体回流管道,均采用不锈钢 304 材质,人口处配置角座阀及过滤器;回流及排污处配置视镜,方便观察清洗液状态。整个管路设计合理,无积液和卫生死角。
- (4) 传感器:采用温度、液位、压力、流量、电导率等在线 检测传感器,用于相关参数的检测和自动调节。
- (5) 泵。浓碱添加泵采用气动隔膜泵(流量 19 L/min)。循环泵采用离心泵(流量 3 m³/h,扬程 20 m,功率 1.5 kW),泵体不锈钢 304 材质,配 ABB 电机,具有变频调速控制功能。
- (6) 管路阀门:在系统自动运行过程中,均可采用气动阀门和电动阀门,全自动控制;同时配手动阀门,便于设备的调试与检修。
- (7) 气动元件:配置气动开关阀、过滤器、减压阀、压力表、电磁阀、快速接头、气管等气动元件,均采用日本 SMC 产品。

2 电气控制系统设计

2.1 主要硬件设计

整个系统的主控制器采用 PLC 控制,控制器采用西门子 S7-200 PLC,型号为: CPU 226XP CN,配 EM223 数字量模块、EM231模拟量模块,对整个 CIP 进行工作和流程控制。同时,配网络模块 EM277 和全自动啤酒灌装机的 S7 314 PLC 进行 Profibus DP 现场总线通讯,EM277 作为从站,S7 314 作为主站,通讯量大,抗干扰能力强,从而实现灌装、清洗的全过程自动化。整个系统能实现实时控制,并具有历史记录。设有故障保护程序,确保各流程的安全操作与运行。配置西门子 TP 177B 6 寸人机界面和开关操作面板模块;配置标准电柜及相关控制系统[1-4]。图 2 为控制系统原理框图。

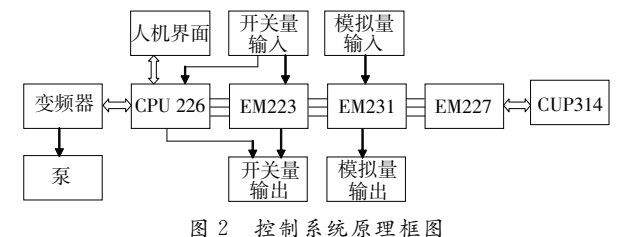


Figure 2 Control system principleblock diagram

2.2 PLC 程序设计

2.2.1 PLC 地址分配 PLC 的物理地址分配见表 1。

表 1 PLC I/O 地址表

Table 1 PLC I/O address table

输入元件		输出元件	
元件号	地址	元件号	地址
控制电压开/停	IO. 0	热水罐出水阀	Q 0.0
热水罐上限	I 0. 4	碱罐出水阀	Q 0. 1
碱罐上限	I 0.5	总排放阀	Q 0. 2
热水罐出水阀	Io. 7	无菌水排出阀	Q 0.3
碱罐出水阀	I 1.0	热水罐回流阀	Q 0. 4
无菌水出水阀	IO. 6	碱水回流阀	Q 0.5
管道清洗回流阀	I1. 1	CIP回流阀	Q 0.6
总排放阀	I1.2	加热回流阀	Q 0.7
热水罐回流阀	I1.3	CIP 清洗排出阀	Q 1.0
碱罐回流阀	I1.4	管道清洗回流阀	Q 1. 1
CIP回流阀	I 1.5	气动隔膜泵	Q 1. 2
加热回流阀	I1.6	泵正转	Q 1. 3
CIP排出阀	I1.7	泵高速	Q1.4
循环泵过载	I2.0	泵中速	Q 1. 5
		泵低速	Q 1. 6
		循环泵	Q 2. 0

2.2.2 程序结构 采用模块化结构,包括:主程序、罐体配置程序、热水管升温、碱罐补水、碱罐升温等程序块,见图 3。



图 3 程序结构示意图

Figure 3 Program structure diagram

2.3 工作流程

2.3.1 主清洗流程 分为 3 个阶段,按次序进行^[5]:

(1) 第一阶段(热水罐加水):

打开热水罐回流阀、无菌水进水阀→加水至热水罐高液 位→关闭无菌水进水阀、打开热水罐排出阀、加热回流阀→ 启动循环泵→打开加热管道阀门→开始升温→升温至设定 温度值,并保持设定时间→停止循环泵→关闭热水罐回流 阀、热水罐排出阀、加热回流阀

(2) 第二阶段(碱罐加水):

打开碱罐回流阀、无菌水进水阀→加水至碱罐高液位→ 关闭无菌水进水阀、打开碱罐排出阀、加热回流阀→启动循 环泵→打开加热管道阀门→开始升温、加碱→升温至设定温 度及碱液浓度至设定值,并保持设定时间→停止循环泵→关 闭碱罐回流阀、碱罐排出阀、加热回流阀

(3) 第三阶段(冲清管道):

打开无菌水进水阀、总排放阀、加热回流阀→清洗一定 时间后→关闭无菌水进水阀、加热回流阀,打开自清洗排放 阀→排几秒钟后→关闭自清洗排放阀、总排放阀(完毕)

2.3.2 无菌水清洗流程

打开 CIP 排出阀、CIP 回流阀、无菌水进水阀、总排放阀→启动循环泵

2.3.3 热水清洗流程

打开 CIP 排出阀、CIP 回流阀、热水罐排出阀、热水罐回流阀→启动循环泵

2.3.4 碱水清洗流程

打开 CIP 排出阀、CIP 回流阀、碱罐排出阀、碱罐回流 阀→启动循环泵

2.4 其他控制环节

- 2.4.1 碱液浓度自动调配 根据输入请求自动启动气动隔膜泵及相关阀门,抽取适量浓碱配置,使碱罐中碱溶液达到要求浓度。
- 2.4.2 CIP 清洗过程 根据碱清洗的典型工艺流程,结合时间、温度、浓度、流量等参数要求,按时序控制相关电磁阀、继电器的动作,抽取热水罐和碱罐中液体,按步骤自动运行,进行 CIP 清洗过程。
- 2.4.3 温度控制 清洗液的温度控制是系统控制的重点, 采用电热水器将清水加热,然后再用加热后的热水作为热媒 经换热器对清洗液进行加热,提高了操作的安全性;温度信 号通过 A/D、D/A 转换,实现温度的闭环 PID 控制。
- 2.4.4 参数设定 对温度、浓度、时间等参数,通过编程使 其可以根据工艺的需要在触摸屏上(或上位机)进行修改,使 用方便灵活,PID 参数同样也可在触摸屏上设定,以方便 调试。
- 2.4.5 故障报警 对检测到的超出设定范围的参数,如:压缩空气低压等异常现象,通过触摸屏提示和闪光灯报警,对比较严重的报警,会暂停程序运行,直到故障排除方可继续运行。

3 操作界面设计

采用一台西门子 TP 177B 6 寸触摸屏开发操作界面,主要界面包括主控制界面、CIP 系统自动清洗控制界面、参数设置界面、手动控制界面、温控及温控参数设定界面、故障显示界面^[6]。

3.1 主控制界面

主控制界面包含:切换画面、实测数据显示(清洗液浓度、清洗液流量、清洗液温度、回流管温度)等,见图4。

3.2 CIP 系统自动清洗控制界面

CIP 系统自动清洗控制界面包含:切换画面(主界面、故障显示、参数设置)和工艺流程图(阀开关反馈、有关泵信号反馈、水位高低反馈),见图 5。

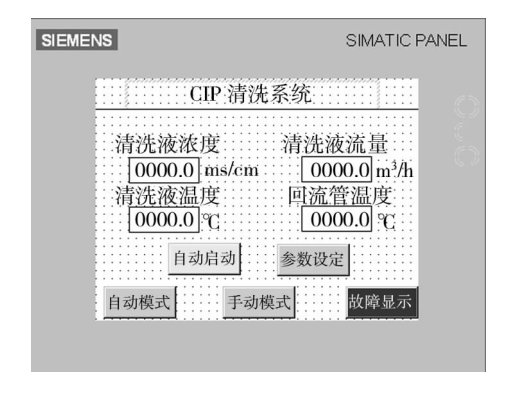


图 4 主控制界面

Figure 4 Main control interface

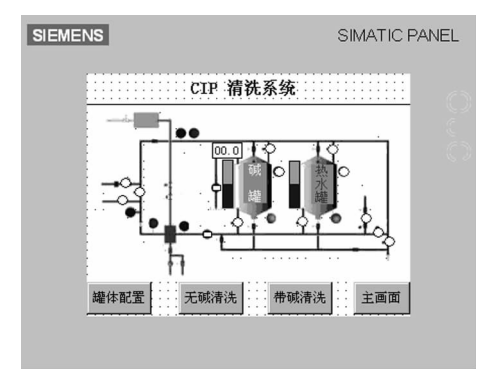


图 5 CIP 系统自动清洗控制界面

Figure 5 CIP automatic cleaning control interface

3.3 参数设置界面

参数设置界面包含:切换画面(主画面、温度控制)和相 关参数设定(略),见图 6。

3.4 手动控制界面

手动控制界面包含,切换画面(主界面)和手动按钮,见图 7。单击相应按钮,将打开相对应的电磁阀及泵,并在工艺流程图中反馈开关阀信号。

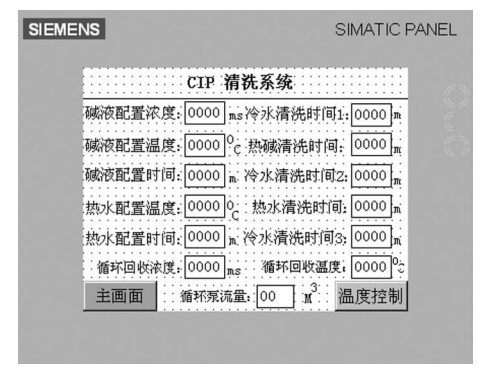


图 6 参数设置界面

Figure 6 Parameter setting interface

包装与机械

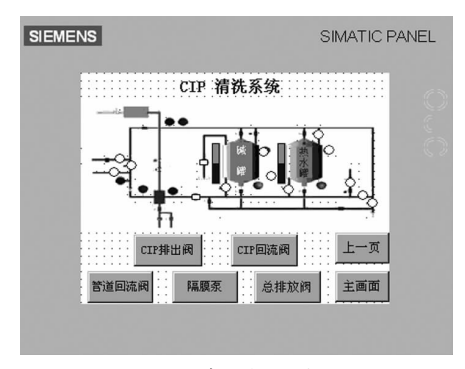


图 7 手动控制界面

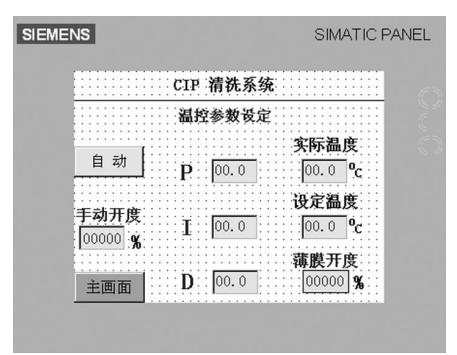
Figure 7 Manual control interface

3.5 温控及温控参数设定界面

温控及温控参数设定界面包括:切换画面(主画面)和温度设定,见图 8。控制模式:自动、手动(自动时,薄膜阀开关比例根据 PV 与 SV 及 P、I、D 参数调节;手动时,薄膜阀开关比例根据手动设定值比例调节)。

3.6 故障显示界面

故障显示界面包含:切换界面(主画面)和显示系统当前故障,见图 9。具体阀故障及泵故障在工艺流程图中反馈具体位置结束语。



P. 比例增益参数 I. 积分参数 D. 微分参数 图 8 温控及温控参数设定界面

Figure 8 Temperature control and temperature control parameters setting interface Figure

SIEMENS SIMATIC PANEL CIP 消洗系统 故障画面 主画面

图 9 故障显示界面

Figure 9 Fault display interface

4 结论

该 CIP 系统采用基于西门子 S7 200 PLC 和触摸屏技术 为核心的自动控制系统,具有多个工艺流程,设计合理,自动 化程度高。为克服以往 CIP 系统单机清洗及和主机数据通讯不稳定等缺点,使用 Profibus DP 现场总线技术与原有全自动啤酒灌装机 S7300 PLC 系统联网通讯,通讯稳定,数据量大,实现了啤酒生产和清洗过程联机控制。目前该系统已经投入使用,由于其自动化程度高,实现了啤酒生产清洗全过程控制,操作方便,保证了啤酒生产工艺过程中的清洗彻底和安全,大大降低了清洗成本,经济效益和社会效益明显。

参考文献

- 1 廖晓科,廖罗尔,文卫.基于 PLC 改进啤酒灌装线控制系统故障 诊断的研究[J].食品与机械,2009,25(5):82~83,119.
- 2 韩慧,倪荣军,孙计赞,基于 PLC 食品检测实验室自动加液装置的设计与实现[J].食品与机械,2014,30(1);130~132.
- 3 唐文军, 樊石, 李磊. 乳品厂 CIP 系统的自动控制改造[J]. 自动化技术与应用, 2011(4): 77~78, 81.
- 4 廖常初. PLC 编程及应用[M]. 北京: 机械工业出版社,2005: 1~125.
- 5 吕守军, CIP 清洗系统的分析及优化[J]. 啤酒科技, 2011(9): 26~28,30.
- 6 刘文芳. 基于 PLC 及触摸屏技术的 CIP 清洗控制系统的设计 [J]. 制造业自动化,2011(3):143~144,212.

(上接第74页)

- 15 田春莲, 康炼常. 流动注射化学发光法测定茜草总黄酮清除羟 自由基能力的研究[J]. 林产化学与工业,2011,31(5): 100~104.
- 16 郭兴峰, 傅茂润, 杜金华, 等. 不同干燥方法对荷花花瓣抗氧化活性和化学成分的影响[J]. 食品与发酵工业, 2010, 36(2): 146~149.
- 17 王岱杰,王晓,耿岩玲,等. 反相高效液相色谱测定不同品种皱皮木瓜中齐墩果酸和熊果酸含量[J]. 食品科学,2008,29(10):497~499.
- 18 Liu Na-na, Liu Wei, Wang Dai-jie, et al. Purification and partial characterization of polyphenol oxidase from the flower buds of Lonicera japonica Thunb[J]. Food Chem., 2013, 138(1): 478~483.
- 19 李秀芳,杨拉弟,韩叶,等.温度对采后'红富士'苹果果皮色

- 泽、色素及其相关酶活性变化的影响[J]. 西北农业学报,2014,23(5):97~103.
- 20 王利群, 戴雄泽. 色差计在辣椒果实色泽变化检测中的应用 [J]. 辣椒杂志, 2009(5): 23~33.
- 21 郝英超, 罗磊, 刘云宏, 等. 酶促褐变中酚类化合物代谢机理研究进展[J]. 农产品加工(学刊), 2013(5): 55~58.
- 22 王晓丽. 光皮木瓜黄酮类物质的提取及抗氧化性研究[D]. 泰安:山东农业大学,2014:1~2.
- 23 俞佳. 不同道地产区木瓜指标成分分析及川木瓜总黄酮提取纯 化工艺研究[D]. 成都: 成都中医药大学, 2007: 2~4.
- 24 白永亮,段金廒,宿树兰,等.桑叶干燥过程中黄酮类和生物碱 类成分动态变化分析[J].中药材,2014,37(7):1158~1163.
- 25 张伟伟. 宣木瓜果实生长发育及主要营养物质动态变化研究 [D]. 合肥: 安徽农业大学, 2010: 27~28.